

Ускоренные спуски по случайному направлению с неевклидовой прокс-структурой*

Е.А. ВОРОНЦОВА, к-т физ.-мат. наук (vorontsovaea@gmail.com),
 (Дальневосточный федеральный университет, Владивосток),
 А.В. ГАСНИКОВ, д-р физ.-мат. наук (gasnikov@yandex.ru) ,
 (Московский физико-технический институт, Москва),
 Э.А. ГОРБУНОВ, студент (ed-gorbunov@yandex.ru),
 (Московский физико-технический институт, Москва)

В 2011 г. Ю.Е. Нестеровым были предложены ускоренные безградиентные методы решения задач гладкой выпуклой оптимизации. То есть были предложены ускоренные методы с оракулом, выдающим только значение функции в запрошенной точке. Поскольку рассматривались только задачи безусловной оптимизации, то использовалась евклидова прокс-структура. Однако, если заранее знать, например, что решение задачи разрежено, а точнее, что расстояние от точки старта до решения в 1-норме и в 2-норме близки, то более выгодно выбирать не евклидову прокс-структуру, связанную с 2-нормой, а прокс-структуру, связанную с 1-нормой. В данной работе предлагается ускоренный метод спуска по случайному направлению с неевклидовой прокс-структурой. Получены оценки скорости сходимости метода.

1 Введение

В работе [1] были предложены ускоренные оракульные¹ методы нулевого порядка (безградиентные методы) решения задач гладкой выпуклой безусловной оптимизации.

В рассуждениях [1] существенным образом использовалось то, что была выбрана евклидова прокс-структура (выпуклая гладкая функция, порождающая расстояние и 1-сильно выпуклая относительно какой-то нормы, строгое определение см. в разделе 4). Такой выбор прокс-структуры для задач безусловной оптимизации является вполне естественным (см., например, [3]). Однако в ряде задач имеется дополнительная информация, которая, например, позволяет рассчитывать на разреженность решения (в решении большая часть компонент нулевые). В таких случаях использование других прокс-структур бывает более

*Авторы выражают благодарность Павлу Двуреченскому и Александру Тюрину за помощь в работе. Работа А. В. Гасникова по пп. 3, 4 была поддержанна грантом РНФ 17-11-01027. Работа Э. А. Горбунова была поддержана программой 5 топ 100 МФТИ по приглашению визит-профессоров.

¹Здесь и далее под оракулом понимается подпрограмма расчёта значений целевой функции и/или градиента (его части), а оптимальность метода на классе задач понимается в смысле Бахвалова-Немировского [2] – как число обращений (по ходу работы метода) к оракулу, для достижения заданной точности (по функции).

выгодным. Для негладких задач стохастической условной оптимизации с оракулом нулевого порядка недавно было показано [4], [5], что в определенных ситуациях ускорение метода за счёт перехода от евклидовой прокс-структуре, связанной с 2-нормой, к прокс-структурам, связанным с 1-нормой, может давать ускорение методу, по порядку равное размерности пространства, в котором происходит оптимизация. К сожалению, техника, использованная в работах [4], [5] существенным образом использовала неускоренную природу оптимальных методов для негладких задач. Другими словами, из этих работ непонятно, как получать аналогичные оценки для гладких задач. В настоящей работе на базе специального варианта быстрого (ускоренного) градиентного метода [6] строится сначала ускоренный метод спуска по случайному направлению. Особенностью метода работы [6] является представление быстрого градиентного метода как специальной выпуклой комбинации градиентного спуска и зеркального спуска. В исходной работе, как и во всех известных нам вариантах быстрого градиентного метода с двумя и более «проекциями», обе проекции осуществлялись в одной норме/прокс-структуре. По-видимому, главной идеей данной работы является использование разных норм/прокс-структур в этих проекциях. А именно, в градиентном шаге всегда используется обычная евклидова проекция, а вот в зеркальном шаге выбор прокс-структур обусловлен априорной информацией о свойствах решения.

В данной работе на базе описанной выше конструкции для детерминированных задач безусловной гладкой выпуклой оптимизации строится ускоренный метод спуска по случайному направлению² (раздел 4).

В классе детерминированных спусков по направлению (к ним можно отнести и циклический координатный спуск) для получения лучших оценок необходимо вводить рандомизацию (доказательство см. в. [8]), поэтому рассматриваются сразу спуски по случайному направлению.

Показывается, какие возникают сложности при попытке перенесения описанного подхода на задачи оптимизации на множествах простой структуры (раздел 4).

²Подробно о разнице в подходах в случае детерминированной постановки, но со введением рандомизации, и в случае задач стохастической оптимизации, см. в [7].

2 Постановка задачи

Рассматривается задача гладкой выпуклой оптимизации

$$f(x) \rightarrow \min_{x \in Q}, \quad (1)$$

где функция $f(x)$, заданная на выпуклом замкнутом множестве $Q \subseteq \mathbb{R}^n$, имеет липшицев градиент с константой L_2 (т.е. $f(x)$ — L_2 -гладкая функция):

$$\|\nabla f(y) - \nabla f(x)\|_2 \leq L_2 \|y - x\|_2$$

и является μ -сильно выпуклой в p -норме ($1 \leq p \leq 2$) функцией (далее также будем использовать обозначение μ_p), при этом в точке минимума x_* выполнено равенство $\nabla f(x_*) = 0$, а итерационный процесс стартует с точки x_0 .

В данной работе для решения задачи (1) вместо обычного градиента используется его стохастическая аппроксимация, построенная на базе производной по случайно выбранному направлению [9]

$$g(x, e) \stackrel{\text{def}}{=} n \langle \nabla f(x), e \rangle e,$$

где e — случайный вектор, равномерно распределённый на $S_2^n(1)$ — единичной сфере в 2-норме в пространстве \mathbb{R}^n ($e \in RS_2^n(1)$ — под этой записью будем понимать, что случайный вектор e имеет равномерное распределение на n -мерной единичной евклидовой сфере), а угловые скобки $\langle \cdot, \cdot \rangle$ обозначают скалярное произведение³.

Имеет место следующая лемма (доказательство см. в [10]), являющаяся следствием явления концентрации равномерной меры на сфере вокруг экватора (см. также [11]; северный полюс задается градиентом $\nabla f(x)$).

Л е м м а 1 Пусть $e \in RS_2^n(1)$, $n \geq 8$, $s \in \mathbb{R}^n$, тогда

$$\mathbb{E}[||e||_q^2] \leq \min\{q-1, 16 \ln n - 8\} n^{\frac{2}{q}-1}, \quad 2 \leq q \leq \infty \quad (2)$$

$$\mathbb{E}[\langle s, e \rangle^2 ||e||_q^2] \leq \sqrt{3} ||s||_2^2 \min\{2q-1, 32 \ln n - 8\} n^{\frac{2}{q}-2}, \quad 2 \leq q \leq \infty, \quad (3)$$

где под знаком $|| \cdot ||_q$ понимается векторная q -норма (норма Гёльдера с показателем q).

Из (3) (см. также [4]) вытекает следующий факт.

³Отметим, что $\mathbb{E}_e[g(x, e)] = \nabla f(x)$, что следует из такого факта: $\mathbb{E}_e[|e_i|^2] = \frac{1}{n}$, где e_i — i -я компонента вектора e .

Утверждение 1. Пусть $e \in RS_2^n(1)$, $g(x, e) = n \langle \nabla f(x), e \rangle e$, тогда

$$\mathbb{E}_e \left[\|g(x, e)\|_q^2 \right] \leq \sqrt{3} \min\{2q - 1, 32 \ln n - 8\} n^{\frac{2}{q}} \|\nabla f(x)\|_2^2.$$

Используя утверждение 1, можно в сильно выпуклом случае при условии $\nabla f(x_*) = 0$ получить следующую оценку необходимого числа обращений к оракулу за производной по направлению для достижения по функции точности ε в среднем [12]:

$$N(\varepsilon) = O \left(n^{\frac{2}{q}} \ln n \frac{L_2}{\mu} \ln \left(\frac{\Delta f^0}{\varepsilon} \right) \right),$$

где $\Delta f^0 = f(x_0) - f(x_*)$.

Имеется гипотеза (см., например, [3]), что, используя специальные ускоренные методы (типа Катюши (Katusha), [13]), можно получить оценку

$$N(\varepsilon) = O \left(n^{\frac{1}{q} + \frac{1}{2}} \ln n \sqrt{\frac{L_2}{\mu}} \ln \left(\frac{\Delta f^0}{\varepsilon} \right) \right).$$

Насколько нам известно, данная гипотеза на данный момент не доказана и не опровергнута.

В разделе 4 данной работы для случая $Q = \mathbb{R}^n$ доказывается следующая оценка:

$$\mathbb{E}[f(x_N)] - f(x_*) \leq C n^{\frac{2}{q} + 1} \ln n \frac{L_2 R^2}{N^2}. \quad (4)$$

Эта оценка получается из приведенной выше оценки с помощью регуляризации $\mu = \varepsilon/R^2$ [7], где (с точностью до корня из логарифмического по n множителя) R — расстояние в p -норме от точки старта до решения.

3 Задача А.С. Немировского

Рассмотрим задачу (1) минимизации гладкого выпуклого функционала $f(x)$ с константой Липшица градиента L_2 в 2-норме на множестве $Q = B_1^n(R)$ (шар в пространстве \mathbb{R}^n радиуса R в 1-норме). Тогда на рассматриваемом классе функций для любого итерационного метода, на каждой итерации которого только один раз можно обратиться к оракулу за градиентом функции, можно так подобрать функцию $f(x)$ из этого класса, что имеет место следующая оценка скорости сходимости [14]

$$f(x_N) - f(x_*) \geq \frac{\tilde{C}_1 L_2 R^2}{N^3}, \quad (5)$$

где \tilde{C}_1 — некоторая числовая константа⁴, x^* — ближайшая к x_0 точка минимума функции $f(x)$. Поскольку $f(x_N) - f(x_*)$ должно быть меньше, или равно ε , из (5) можно получить оценку на $N(\varepsilon)$.

С другой стороны, если использовать обычный быстрый градиентный метод с KL-прокс-структурой для этой же задачи, то [15]:

$$f(x_N) - f(x_*) \leq \frac{\tilde{C}_2 L_1 R^2 \ln n}{N^2},$$

где константа Липшица градиента L_1 в 1-норме удовлетворяет условию: $L_2/n \leq L_1 \leq L_2$.⁵ Отсюда нельзя сделать вывод, что нижняя оценка достигается. Достигается ли эта нижняя оценка, и, если достигается, на каком методе? — насколько нам известно, это пока открытый вопрос, поставленный А.С. Немировским в 2015 году (см. также [14]). Однако, если оценивать не число итераций, а общее число арифметических операций и если ограничиться рассмотрением класса функций, для которых «стоимость» расчёта производной по направлению примерно в n раз меньше «стоимости» расчёта полного градиента⁶, то при $N \leq n$ (точнее даже при $N \simeq n$) выписанная выше оценка (4) (в варианте для общего числа арифметических операций, необходимых для достижения заданной точности в среднем) с точностью до логарифмического множителя будет соответствовать нижней оценке (5), если последнюю понимать как

$$f(x_N) - f(x_*) \geq \frac{\tilde{C}_1 L_2 R^2}{n N^2},$$

то есть

$$N(\varepsilon) = O\left(\sqrt{\frac{L_2 R^2}{\varepsilon n}}\right).$$

Действительно ($q = \infty$), общее число арифметических операций

$$\underbrace{O(n) \cdot O\left(n^{\frac{1}{2}} \ln n \sqrt{\frac{L_2 R^2}{\varepsilon}}\right)}_{\text{число итераций}} \approx O(n^2) \cdot O\left(\sqrt{\frac{L_2 R^2}{\varepsilon n}}\right).$$

⁴Как и \tilde{C}_2 далее. Здесь и далее все числовые константы не зависят от N и n .

⁵Здесь под L_1 понимается такое положительное число, что $\|\nabla f(x) - \nabla f(y)\|_\infty \leq L_1 \|x - y\|_1$.

⁶Ввиду быстрого автоматического дифференцирования [16] это предположение довольно обременительное; впрочем, если функция задана моделью черного ящика, выдающего только значение функции, а градиент восстанавливается при $n + 1$ таком обращении, то сделанное предположение кажется вполне естественным.

4 Обоснование формулы (4) в случае $Q = \mathbb{R}^n$

Введём дивергенцию Брэгмана [17] $V_z(y)$, связанную с p -нормой ($1 \leq p \leq 2$)

$$V_z(y) \stackrel{\text{def}}{=} d(y) - d(z) - \langle \nabla d(z), y - z \rangle,$$

где функция $d(x)$ является непрерывно дифференцируемой сильно выпуклой с константой сильной выпуклости, равной 1. Например, для $p = 1$ функцию $d(x)$ можно выбрать следующим способом

$$d(x) = \frac{1}{2(a-1)} \|x\|_a^2,$$

где $a = \frac{2 \log n}{2 \log n - 1}$. Функцию $d(x)$ будем называть *прокс-функцией* (или *прокс-структурой*), связанной с p -нормой. Кроме того, пусть q — такое число, что $\frac{1}{p} + \frac{1}{q} = 1$. Далее будем следовать обозначениям работы [12]. Пусть случайный вектор e равномерно распределён на поверхности евклидовой сферы единичного радиуса ($e \in RS_2^n(1)$). Положим

$$\text{Grad}_e(x) \stackrel{\text{def}}{=} x - \frac{1}{L} \langle \nabla f(x), e \rangle e,$$

$$\text{Mirr}_e(x, z, \alpha) \stackrel{\text{def}}{=} \underset{y \in \mathbb{R}^n}{\operatorname{argmin}} \{ \alpha \langle n \langle \nabla f(x), e \rangle e, y - z \rangle + V_z(y) \},$$

где L — это константа Липшица градиента функции $f(x)$ в 2-норме (индекс 2 не пишем, так как везде далее нас интересует константа Липшица в 2-норме).

Опишем ускоренный метод (Accelerated by Coupling Directional Search — ACDS), построенного на базе специальной комбинации спусков по направлению в форме градиентного спуска (Grad) и метода зеркального спуска (Mirr).

Теорема 1 Пусть $f(x)$ — выпуклая дифференцируемая функция на $Q = \mathbb{R}^n$ с константой Липшица для градиента равной L в 2-норме, $d(x)$ — 1-сильно выпуклая в p -норме функция на Q , N — число итераций метода x^* — точка минимума функции $f(x)$. Тогда ACDS на выходе даст точку y_N , удовлетворяющую неравенству

$$\mathbb{E}_{e_1, e_2, \dots, e_N} [f(y_N)] - f(x^*) \leq \frac{4\Theta LC_{n,q}}{N^2},$$

$$\text{где } \Theta \stackrel{\text{def}}{=} V_{x_0}(x^*), C_{n,q} \stackrel{\text{def}}{=} \sqrt{3} \min\{2q - 1, 32 \ln n - 8\} n^{\frac{2}{q} + 1}, \frac{1}{q} + \frac{1}{p} = 1.$$

Алгоритм 1 ACDS

Вход: f — выпуклая дифференцируемая функция на \mathbb{R}^n с липшицевым градиентом с константой L по отношению к 2-норме; x_0 — некоторая стартовая точка; N — количество итераций.

Выход: точка y_N , для которой выполняется $\mathbb{E}_{e_1, e_2, \dots, e_N} [f(y_N)] - f(x^*) \leq \frac{4\Theta LC_{n,q}}{N^2}$.

```

1:  $y_0 \leftarrow x_0$ ,  $z_0 \leftarrow x_0$ 
2: for  $k = 0, \dots, N - 1$ 
3:    $\alpha_{k+1} \leftarrow \frac{k+2}{2LC_{n,q}}$ ,  $\tau_k \leftarrow \frac{1}{\alpha_{k+1}LC_{n,q}} = \frac{2}{k+2}$ 
4:   Генерируется  $e_{k+1} \in RS_2^n(1)$ , независимо от предыдущих итераций
5:    $x_{k+1} \leftarrow \tau_k z_k + (1 - \tau_k)y_k$ 
6:    $y_{k+1} \leftarrow \text{Grad}_{e_{k+1}}(x_{k+1})$ 
7:    $z_{k+1} \leftarrow \text{Mirr}_{e_{k+1}}(x_{k+1}, z_k, \alpha_{k+1})$ 
8: end for
9: return  $y_N$ 

```

Такой выбор α_k и τ_k будет объяснён далее. Сформулируем две ключевые леммы, которые понадобятся для доказательства теоремы 1 (доказательства — в приложении).

Лемма 2 Если $\tau_k = \frac{1}{\alpha_{k+1}LC_{n,q}}$, то для всех $u \in Q = \mathbb{R}^n$ верны неравенства

$$\begin{aligned}
& \alpha_{k+1} \langle \nabla f(x_{k+1}), z_k - u \rangle \\
\leq & \alpha_{k+1}^2 \cdot \frac{C_{n,q}}{2n} \|\nabla f(x_{k+1})\|_2^2 + V_{z_k}(u) - \mathbb{E}_{e_{k+1}}[V_{z_{k+1}}(u) \mid e_1, e_2, \dots, e_k] \\
\leq & \alpha_{k+1}^2 LC_{n,q} \cdot (f(x_{k+1}) - \mathbb{E}_{e_{k+1}}[f(y_{k+1}) \mid e_1, e_2, \dots, e_k]) \\
& + V_{z_k}(u) - \mathbb{E}_{e_{k+1}}[V_{z_{k+1}}(u) \mid e_1, e_2, \dots, e_k].
\end{aligned} \tag{6}$$

Лемма 3 Для всех $u \in Q = \mathbb{R}^n$ выполнено

$$\begin{aligned}
& \alpha_{k+1}^2 LC_n \mathbb{E}_{e_{k+1}}[f(y_{k+1}) \mid e_1, \dots, e_k] - (\alpha_{k+1}^2 LC_n - \alpha_{k+1}) f(y_k) + \\
& \mathbb{E}_{e_{k+1}}[V_{z_{k+1}}(u) \mid e_1, \dots, e_k] - V_{z_k}(u) \leq \alpha_{k+1} f(u).
\end{aligned} \tag{7}$$

Сложности возникают при попытке перенесения этого результата на случай $Q \neq \mathbb{R}^n$. Ограничимся рассмотрением случая $p = q = 2$, так как даже для него не удаётся обобщить рассуждения из [6]. Введём следующее обозначение

$$\text{Prog}_s(x) \stackrel{\text{def}}{=} -\min_{y \in Q} \left\{ \langle s, y - x \rangle + \frac{L}{2} \|y - x\|_2^2 \right\}.$$

Заметим, что вторая часть леммы 1 в евклидовом случае упрощается, а именно

$$\mathbb{E}_e[\langle s, e \rangle^2] = \frac{\|s\|_2^2}{n},$$

где $e \in RS_2^n$ (см. лемму B.10 из [18]; формулировка данной леммы есть в приложении — см. лемму 4). Отсюда следует, что $C_{n,q} = n^2$. Если положить

$$\text{Grad}_e(x) \stackrel{\text{def}}{=} \underset{y \in Q}{\operatorname{argmin}} \left\{ \langle \langle \nabla f(x), e \rangle e, x - y \rangle - \frac{L}{2} \|y - x\|_2^2 \right\},$$

$$\text{Mirr}_e(x, z, \alpha) \stackrel{\text{def}}{=} \underset{y \in Q}{\operatorname{argmin}} \{ \alpha \langle n \langle \nabla f(x), e \rangle e, y - z \rangle + V_z(y) \},$$

то, чтобы обобщить приведённые выше рассуждения на условный случай, нужно оценить подходящим образом $\text{Prog}_{n \langle \nabla f(x), e \rangle e}(x_{k+1})$ (точнее, его математическое ожидание по e_{k+1}), то есть, исходя из техники, используемой в [6], хотелось бы доказать оценку

$$\mathbb{E}_{e_{k+1}} [\text{Prog}_{n \langle \nabla f(x_{k+1}), e_{k+1} \rangle e_{k+1}}(x_{k+1})] \leq n^2 (f(x_{k+1}) - \mathbb{E}[f(y_{k+1})]), \quad (8)$$

чтобы получить оценку скорости сходимости как и в случае безусловной минимизации. К сожалению, существует пример (приведён далее) выпуклой L -гладкой функции и замкнутого выпуклого множества, для которых (8) не выполняется.

Сначала рассмотрим более детально $\text{Prog}_\xi(x)$:

$$\begin{aligned} \text{Prog}_\xi(x) &= -\min_{y \in Q} \left\{ \frac{L}{2} \|y - x\|_2^2 + \langle \xi, y - x \rangle \right\} = \\ &= -\min_{y \in Q} \left\{ \frac{L}{2} \|y - x\|_2^2 + \langle \xi, y - x \rangle + \frac{1}{2L} \|\xi\|_2^2 \right\} + \frac{1}{2L} \|\xi\|_2^2 \\ &= -\min_{y \in Q} \left\{ \left\| \frac{1}{\sqrt{2L}} \xi + \sqrt{\frac{L}{2}} \cdot y - \sqrt{\frac{L}{2}} \cdot x \right\|_2^2 \right\} + \frac{1}{2L} \|\xi\|_2^2 \\ &= -\frac{L}{2} \min_{y \in Q} \left\{ \|y - (x - \frac{1}{L} \xi)\|_2^2 \right\} + \frac{1}{2L} \|\xi\|_2^2, \end{aligned}$$

то есть точка, в которой достигается этот минимум ⁷,

$$\hat{y} = \pi_Q \left(x - \frac{1}{L} \xi \right).$$

Тогда

$$y_{k+1} = \pi_Q \left(x - \frac{1}{L} s_{k+1} \right), \quad s_{k+1} \stackrel{\text{def}}{=} \langle \nabla f(x_{k+1}), e_{k+1} \rangle e_{k+1} = \frac{1}{n} g(x_{k+1}, e_{k+1}).$$

Кроме того, обозначим через \tilde{y}_{k+1} точку множества Q , в которой достигается минимум в формуле для $\text{Prog}_{n \langle \nabla f(x_{k+1}), e_{k+1} \rangle e_{k+1}}(x_{k+1})$. Тогда

$$\tilde{y}_{k+1} = \pi_Q \left(x - \frac{n}{L} s_{k+1} \right).$$

⁷См. также и [7].

Также для удобства рассмотрим следующие представления для y_{k+1} и \tilde{y}_{k+1} :

$$y_{k+1} = x_{k+1} - \frac{1}{L}s_{k+1} + r_{k+1}, \quad (9)$$

$$\tilde{y}_{k+1} = x_{k+1} - \frac{n}{L}s_{k+1} + \tilde{r}_{k+1},$$

где r_{k+1} и \tilde{r}_{k+1} будем называть векторами невязок.

Рассмотрим функцию

$$f(y) = f(x_{k+1}) + \langle \nabla f(x_{k+1}), y - x_{k+1} \rangle + \frac{L}{2} \|y - x_{k+1}\|_2^2 \quad (10)$$

и множество, изображённое на рисунке 1 (в качестве $\nabla f(x_{k+1})$ можно выбрать любой ненулевой вектор, а в качестве Q — прямоугольный параллелепипед с достаточно длинными сторонами, в центре одной из гиперграней которого размещена точка x_{k+1}). Подставим в (10) значение

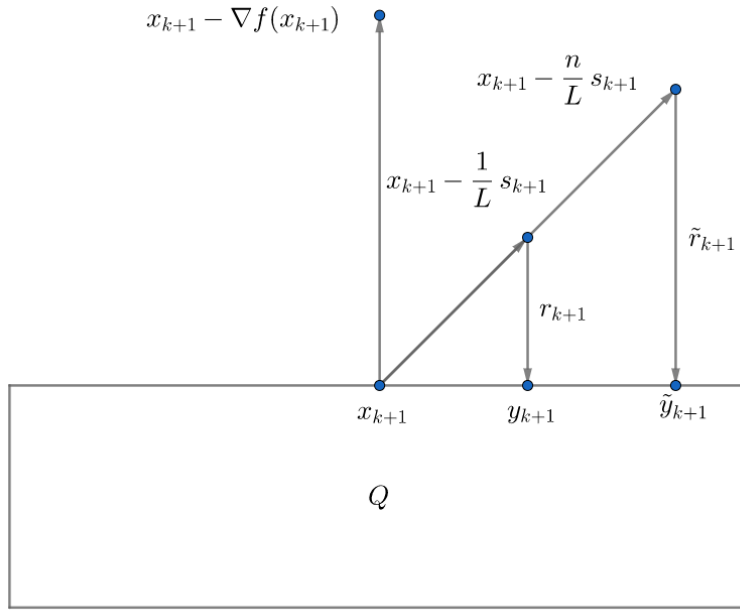


Рис. 1: Пример ситуации, когда ключевое неравенство не выполнено

$y = y_{k+1}$ и воспользуемся представлением y_{k+1} из (9):

$$-\langle \nabla f(x_{k+1}), -\frac{1}{L}s_{k+1} + r_{k+1} \rangle - \frac{L}{2} \left\| r_{k+1} - \frac{1}{L}s_{k+1} \right\|_2^2 = f(x_{k+1}) - f(y_{k+1}).$$

Далее воспользуемся тем, что $s_{k+1} = \langle \nabla f(x_{k+1}), e_{k+1} \rangle e_{k+1}$:

$$\begin{aligned} \frac{1}{L} \langle \nabla f(x_{k+1}), e_{k+1} \rangle^2 - \langle \nabla f(x_{k+1}), r_{k+1} \rangle - \frac{L}{2} \left\| r_{k+1} - \frac{1}{L}s_{k+1} \right\|_2^2 + \langle r_{k+1}, s_{k+1} \rangle \\ - \frac{1}{2L} \langle \nabla f(x_{k+1}), e_{k+1} \rangle^2 = f(x_{k+1}) - f(y_{k+1}), \end{aligned}$$

или в более компактной форме

$$\begin{aligned} \frac{1}{2L} \langle \nabla f(x_{k+1}), e_{k+1} \rangle^2 - \frac{L}{2} \left\| r_{k+1} \right\|_2^2 + \langle r_{k+1}, s_{k+1} - \nabla f(x_{k+1}) \rangle \\ = f(x_{k+1}) - f(y_{k+1}). \end{aligned} \quad (11)$$

При таком выборе функции и множества получаем, что $n^2 \cdot \|r_{k+1}\|_2^2 = \|\tilde{r}_{k+1}\|_2^2$ для всех единичных e . Действительно,

$$\text{Prog}_{\langle \nabla f(x_{k+1}), e_{k+1} \rangle e_{k+1}}(x_{k+1}) = \frac{1}{2L} \langle \nabla f(x_{k+1}), e_{k+1} \rangle^2 - \frac{L}{2} \left\| r_{k+1} \right\|_2^2$$

и

$$\text{Prog}_{n \langle \nabla f(x_{k+1}), e_{k+1} \rangle e_{k+1}}(x_{k+1}) = \frac{n^2}{2L} \langle \nabla f(x_{k+1}), e_{k+1} \rangle^2 - \frac{L}{2} \left\| \tilde{r}_{k+1} \right\|_2^2,$$

то

$$\text{Prog}_{n \langle \nabla f(x_{k+1}), e_{k+1} \rangle e_{k+1}}(x_{k+1}) = n^2 \text{Prog}_{\langle \nabla f(x_{k+1}), e_{k+1} \rangle e_{k+1}}(x_{k+1}).$$

Отсюда и из (11) следует, что

$$\begin{aligned} \frac{1}{n^2} \text{Prog}_{n \langle \nabla f(x_{k+1}), e_{k+1} \rangle e_{k+1}}(x_{k+1}) + \langle r_{k+1}, s_{k+1} - \nabla f(x_{k+1}) \rangle \\ = f(x_{k+1}) - f(y_{k+1}). \end{aligned}$$

Заметим, что вектор s_{k+1} всегда короче (точнее, не длиннее) вектора $\nabla f(x_{k+1})$ и направлен «вниз» (то есть в то же полупространство, образованное гранью Q , на которой лежит точка x_{k+1}), как и $\nabla f(x_{k+1})$. Значит, разность $s_{k+1} - \nabla f(x_{k+1})$ будет направлена в противоположную часть пространства. А вектор r_{k+1} тоже направлен вниз. Следовательно, всегда выполняется $\langle r_{k+1}, s_{k+1} - \nabla f(x_{k+1}) \rangle \leq 0$, причём с ненулевой вероятностью выполнено строгое неравенство. Это означает, что

$$\mathbb{E}_{e_{k+1}} [\langle r_{k+1}, s_{k+1} - \nabla f(x_{k+1}) \rangle] < 0.$$

Поэтому

$$\begin{aligned} \mathbb{E}_{e_{k+1}} [\text{Prog}_{n \langle \nabla f(x_{k+1}), e_{k+1} \rangle e_{k+1}}(x_{k+1})] \\ = n^2 (f(x_{k+1}) - \mathbb{E}_{e_{k+1}} [f(y_{k+1})]) - \mathbb{E}_{e_{k+1}} [\langle r_{k+1}, s_{k+1} - \nabla f(x_{k+1}) \rangle] \\ > n^2 (f(x_{k+1}) - \mathbb{E}_{e_{k+1}} [f(y_{k+1})]). \end{aligned}$$

Представленный контр-пример показывает трудности в перенесении предлагаемого нами метода на задачи условной оптимизации. Теорема 1 говорит нам, что алгоритм ACDS через N итераций выдаст точку y_N , удовлетворяющую неравенству $\mathbb{E}[f(y_N)] - f(x^*) \leq \varepsilon$, $\varepsilon > 0$, если $N = O\left(\sqrt{\frac{\Theta L_2 C_{n,q}}{\varepsilon}}\right)$. По определению $C_{n,q} = \sqrt{3} \min\{2q-1, 32 \ln n - 8\} n^{\frac{2}{q}+1}$,

а в случае $p = 2, q = 2$ можно взять $C_{n,q} = n^2$, что видно из леммы 1 и леммы B.10 из [18] (формулировка этой леммы приведена в приложении как лемма 4), поэтому $N = O\left(\sqrt{\frac{\Theta L_2 n^2}{\varepsilon}}\right)$. Если же $p = 1, q = \infty$, то $C_{n,q} = n\sqrt{3}(32 \ln n - 8)$ и $N = O\left(\sqrt{\frac{\Theta L_2 n \ln n}{\varepsilon}}\right)$.

5 Численные эксперименты

Для практического применения предложенный метод ускоренного спуска по случайному направлению ACDS был реализован на языке программирования Python. Код метода и демонстрация вычислительных свойств метода с построением графиков сходимости доступны как Jupyter Notebook и выложены в свободном доступе на Github [19].

Рассмотрим следующую задачу. Пусть A — матрица размера $n \times n$ со случайными независимыми элементами, равномерно распределенными на $[0, 1]$, а матрица $B = \frac{A^T A}{\lambda_{max}(A^T A)}$, где $\lambda_{max}(A^T A)$ — максимальное собственное значение матрицы $A^T A$.

Необходимо минимизировать функцию

$$f = \frac{1}{2} \langle x - x^*, B(x - x^*) \rangle, \quad x \in \mathbb{R}^n, \quad (12)$$

где $x^* = (1, 0, 0, \dots, 0)^T$. Решение этой задачи известно и равно x^* , $f(x^*) = 0$. Начальная точка x_0 для всех экспериментов выбиралась как $(0, 0, 0, \dots, 1)^T$. Константа Липшица градиента целевой функции $L = 1$.

Следует отметить важность достаточно точного решения вспомогательной задачи минимизации для нахождения z_{k+1} на шаге 7 алгоритма (зеркальный спуск). В нашем случае эту задачу с помощью метода множителей Лагранжа можно свести к задаче одномерной минимизации, подробности с формулами см. в [19]. В реализации метода одномерная минимизация выполняется с помощью обычной дихотомии с точностью, на два порядка превышающей заданную.

Для различных n и заданной точности ε были рассчитаны теоретически требуемые значения числа итераций по теореме 1 и проведена проверка сходимости на практике. Для данной задачи во всех случаях практическая скорость сходимости по функции была выше. Так, например, для $n = 10, \varepsilon = 10^{-3}$ заданная точность была достигнута за 771 итерацию (см. рис. 2), а теоретическая оценка числа итераций даёт 2537 итераций. Далее, для $n = 10^3, \varepsilon = 10^{-4}$ теоретическая оценка

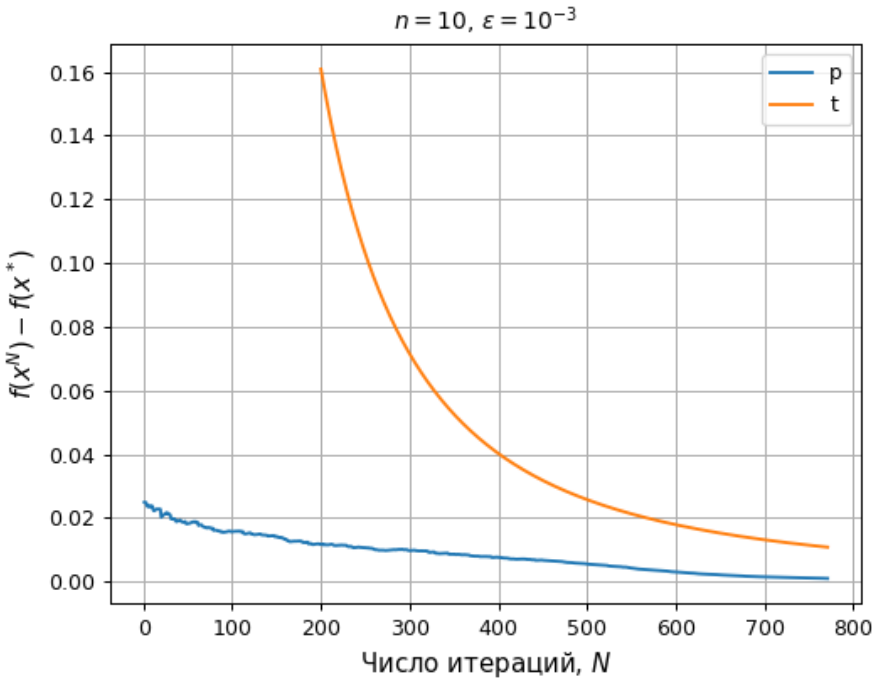


Рис. 2: Сходимость метода ACDS для функции (12), размерность $n = 10$. Показана практическая зависимость точности нахождения минимума $f(x^N) - f(x^*)$ от числа итераций N алгоритма (' p ') и теоретическая оценка $(O\left(\frac{4\Theta LC_{n,q}}{N^2}\right), 't')$

числа итераций даёт не более, чем 255972 итерации. По факту алгоритм завершил работу за 141643 итерации (см. рис. 3). Медленный спуск в начале работы метода объясняется близостью начального значения целевой функции к оптимальному именно в данном примере ($f(x_0) = 0.00032983$).

При проведении численных экспериментов было обнаружено, что преимущество выбора прокс-структурой, связанной с 1-нормой, возникает только в пространствах от средней размерности (от $n = 1000$). Будет ли иметь преимущество предложенный метод, можно определить, сравнив теоретические оценки числа итераций из теоремы 1 для разных p . На рис. 3 как раз показан случай, когда ускоренный спуск по направлению с неевклидовой прокс-структурой оказывается оптимальнее спуска по направлению с евклидовой прокс-структурой.

В целом, численные эксперименты с ускоренным спуском по случайному направлению подтверждают теоретические результаты.

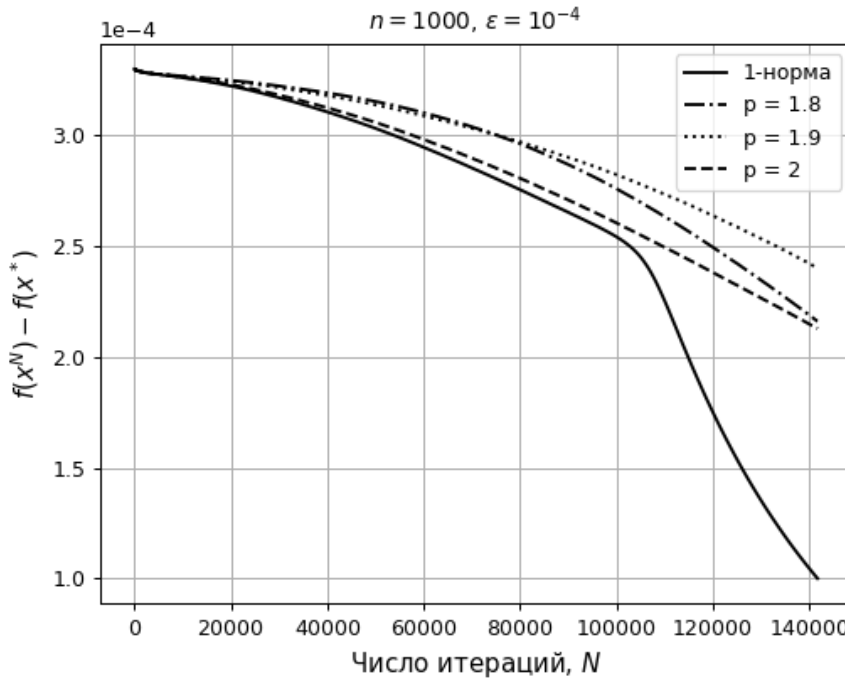


Рис. 3: Сходимость метода ACDS для функции (12), размерность $n = 10^3$. Показана практическая зависимость точности нахождения минимума $f(x^N) - f(x^*)$ от числа итераций N алгоритма ('1-норма'). Также для сравнения приведены результаты работы метода при других p (евклидова норма, $p = 1.8$, $p = 1.9$) при одних и тех же генерируемых k и точке старта x_0

6 Заключение

В работе предложен ускоренный спуск по направлению со случайным (равновероятным) выбором направления спуска на каждой итерации. В отличие от известных вариантов такого метода (см., например [1]), в данной работе рассматривается ускоренный спуск по направлению с неевклидовой прокс-структурой. В случае, когда 1-норма решения близка к 2-норме решения (это имеет место, например, если решение задачи разрежено – имеет много нулевых компонент) предлагаемый подход улучшает оценку на необходимое число итераций, полученную оптимальным методом из [1], приблизительно в \sqrt{n} раз, где n – размерность пространства, в котором происходит оптимизация.

Данная статья открывает цикл работ, в котором планируется привести полные доказательства утверждений, полученных авторами в 2014–2016 гг. и приведенных (без доказательств) в [20]. В частности, далее планируется распространить приведенные в настоящей статье результаты на безградиентные методы, на задачи стохастической оптимизации и

распространить все эти результаты на случай сильно выпуклой функции.

Открытой проблемой остается распространение полученных здесь результатов на случай задач оптимизации на множествах простой структуры. Напомним, что выше существенным образом использовалось то, что оптимизация происходит на всем пространстве. Тем не менее, в будущем планируется показать, что приведенные здесь результаты распространяются на задачи оптимизации на множествах простой структуры в случае если градиент функционала в точке решения равен нулю (принцип Ферма).

ПРИЛОЖЕНИЕ

Доказательство леммы 2. Докажем сначала первую часть неравенства:

$$\begin{aligned}
 & \alpha_{k+1} \langle n \langle \nabla f(x_{k+1}), e_{k+1} \rangle e_{k+1}, z_k - u \rangle \\
 &= \langle \alpha_{k+1} n \langle \nabla f(x_{k+1}), e_{k+1} \rangle e_{k+1}, z_k - z_{k+1} \rangle \\
 &\quad + \langle \alpha_{k+1} n \langle \nabla f(x_{k+1}), e_{k+1} \rangle e_{k+1}, z_{k+1} - u \rangle \\
 &\stackrel{\textcircled{1}}{\leq} \langle \alpha_{k+1} n \langle \nabla f(x_{k+1}), e_{k+1} \rangle e_{k+1}, z_k - z_{k+1} \rangle + \langle -\nabla V_{z_k}(z_{k+1}), z_{k+1} - u \rangle \\
 &\stackrel{\textcircled{2}}{=} \langle \alpha_{k+1} n \langle \nabla f(x_{k+1}), e_{k+1} \rangle e_{k+1}, z_k - z_{k+1} \rangle + V_{z_k}(u) - V_{z_{k+1}}(u) - V_{z_k}(z_{k+1}) \\
 &\stackrel{\textcircled{3}}{\leq} \left(\langle \alpha_{k+1} n \langle \nabla f(x_{k+1}), e_{k+1} \rangle e_{k+1}, z_k - z_{k+1} \rangle - \frac{1}{2} \|z_k - z_{k+1}\|_p^2 \right) \\
 &\quad + V_{z_k}(u) - V_{z_{k+1}}(u), \tag{13}
 \end{aligned}$$

где $\textcircled{1}$ выполнено в силу того, что $z_{k+1} = \underset{z \in \mathbb{R}^n}{\operatorname{argmin}} \{V_{z_k}(z) + \alpha_{k+1} \langle n \langle \nabla f(x_{k+1}), e_{k+1} \rangle e_{k+1}, z \rangle\}$, откуда следует, что $\langle -\nabla V_{z_k}(z_{k+1}) + \alpha_{k+1} n \langle \nabla f(x_{k+1}), e_{k+1} \rangle e_{k+1}, u - z_{k+1} \rangle \geq 0$ для всех $u \in Q = \mathbb{R}^n$, $\textcircled{2}$ выполнено в силу равенства треугольника для дивергенции Брэгмана⁸, $\textcircled{3}$ выполнено, т.к. $V_x(y) \geq \frac{1}{2} \|x - y\|_p^2$ в силу сильной выпуклости прокс-функции $d(x)$.

Теперь покажем, что

$$\begin{aligned}
 & \langle \alpha_{k+1} n \langle \nabla f(x_{k+1}), e_{k+1} \rangle e_{k+1}, z_k - z_{k+1} \rangle - \frac{1}{2} \|z_k - z_{k+1}\|_p^2 \\
 &\leq \frac{\alpha_{k+1}^2 n^2}{2} |\langle \nabla f(x_{k+1}), e_{k+1} \rangle|^2 \cdot \|e_{k+1}\|_q^2.
 \end{aligned}$$

⁸Действительно,

$\forall x, y \in \mathbb{R}^n \quad \langle -\nabla V_x(y), y - u \rangle = \langle \nabla d(x) - \nabla d(y), y - u \rangle = (d(u) - d(x) - \langle \nabla d(x), u - x \rangle) - (d(u) - d(y) - \langle \nabla d(y), u - y \rangle) - (d(y) - d(x) - \langle \nabla d(x), y - x \rangle) = V_x(u) - V_y(u) - V_x(y).$

Действительно, в силу неравенства Гёльдера

$$\begin{aligned} & \langle \alpha_{k+1} n \langle \nabla f(x_{k+1}), e_{k+1} \rangle e_{k+1}, z_k - z_{k+1} \rangle \\ & \leq \alpha_{k+1} n \| \langle \nabla f(x_{k+1}), e_{k+1} \rangle e_{k+1} \|_q \cdot \| z_k - z_{k+1} \|_p \\ & = \alpha_{k+1} n | \langle \nabla f(x_{k+1}), e_{k+1} \rangle | \cdot \| e_{k+1} \|_q \cdot \| z_k - z_{k+1} \|_p, \end{aligned}$$

откуда

$$\begin{aligned} & \langle \alpha_{k+1} n \langle \nabla f(x_{k+1}), e_{k+1} \rangle e_{k+1}, z_k - z_{k+1} \rangle - \frac{1}{2} \| z_k - z_{k+1} \|_p^2 \\ & \leq \alpha_{k+1} n | \langle \nabla f(x_{k+1}), e_{k+1} \rangle | \cdot \| e_{k+1} \|_q \cdot \| z_k - z_{k+1} \|_p - \frac{1}{2} \| z_k - z_{k+1} \|_p^2. \end{aligned} \quad (14)$$

Положим $t = \| z_k - z_{k+1} \|_p$, $a = \frac{1}{2}$, $b = \alpha_{k+1} n | \langle \nabla f(x_{k+1}), e_{k+1} \rangle | \cdot \| e_{k+1} \|_q$, тогда правая часть в (14) имеет вид

$$bt - at^2.$$

Если рассматривать полученное выражение как функцию от $t \in \mathbb{R}$, то её максимум при $t \in \mathbb{R}$ равен (а значит при $t \in \mathbb{R}_+$ не превосходит) $\frac{b^2}{4a}$. Отсюда и из (14) следует неравенство

$$\begin{aligned} & \langle \alpha_{k+1} n \langle \nabla f(x_{k+1}), e_{k+1} \rangle e_{k+1}, z_k - z_{k+1} \rangle - \frac{1}{2} \| z_k - z_{k+1} \|_p^2 \\ & \leq \frac{\alpha_{k+1}^2 n^2}{2} | \langle \nabla f(x_{k+1}), e_{k+1} \rangle |^2 \cdot \| e_{k+1} \|_q^2. \end{aligned} \quad (15)$$

Итак, учитывая (13) и (15), получаем

$$\begin{aligned} & \alpha_{k+1} \langle n \langle \nabla f(x_{k+1}), e_{k+1} \rangle e_{k+1}, z_k - u \rangle \\ & \leq \frac{\alpha_{k+1}^2 n^2}{2} | \langle \nabla f(x_{k+1}), e_{k+1} \rangle |^2 \cdot \| e_{k+1} \|_q^2 + V_{z_k}(u) - V_{z_{k+1}}(u). \end{aligned}$$

Беря условное математическое ожидание $\mathbb{E}_{e_{k+1}}[\dots | e_1, e_2, \dots, e_k]$ от левой и правой частей последнего неравенства и пользуясь вторым неравенством из леммы 1, получаем

$$\begin{aligned} & \alpha_{k+1} \langle \nabla f(x_{k+1}), z_k - u \rangle \\ & \leq \alpha_{k+1}^2 \cdot \frac{C_{n,q}}{2n} \| \nabla f(x_{k+1}) \|_2^2 + V_{z_k}(u) - \mathbb{E}_{e_{k+1}}[V_{z_{k+1}}(u) | e_1, e_2, \dots, e_k], \end{aligned}$$

где $C_{n,q} = \sqrt{3} \min\{2q-1, 32 \ln n - 8\} n^{\frac{2}{q}+1}$. Чтобы доказать вторую часть неравенства (6), покажем, что

$$\| \nabla f(x_{k+1}) \|_2^2 \leq 2nL (f(x_{k+1}) - \mathbb{E}_{e_{k+1}}[f(y_{k+1}) | e_1, e_2, \dots, e_k]). \quad (16)$$

Во-первых, для всех $x, y \in \mathbb{R}$

$$\begin{aligned}
f(y) - f(x) &= \int_0^1 \langle \nabla f(x + \tau(y - x)), y - x \rangle d\tau \\
&= \langle \nabla f(x), y - x \rangle + \int_0^1 \langle \nabla f(x + \tau(y - x)) - \nabla f(x), y - x \rangle d\tau \\
&\leq \langle \nabla f(x), y - x \rangle + \int_0^1 \|\nabla f(x + \tau(y - x)) - \nabla f(x)\|_2 \cdot \|y - x\|_2 d\tau \\
&\leq \langle \nabla f(x), y - x \rangle + \int_0^1 \tau L \|y - x\|_2 \cdot \|y - x\|_2 d\tau \\
&= \langle \nabla f(x), y - x \rangle + \frac{L}{2} \|y - x\|_2^2,
\end{aligned}$$

то есть

$$-\langle \nabla f(x), y - x \rangle - \frac{L}{2} \|y - x\|_2^2 \leq f(x) - f(y).$$

Беря в последнем неравенстве $x = x_{k+1}$, $y = \text{Grad}_{e_{k+1}}(x_{k+1}) = x_{k+1} - \frac{1}{L} \langle \nabla f(x_{k+1}), e_{k+1} \rangle e_{k+1}$, получим

$$\begin{aligned}
f(x_{k+1}) - f(y_{k+1}) &\geq \frac{1}{L} \langle \nabla f(x_{k+1}), e_{k+1} \rangle^2 - \frac{1}{2L} \langle \nabla f(x_{k+1}), e_{k+1} \rangle^2 \cdot \|e_{k+1}\|_2^2 \\
&= \frac{1}{2L} \langle \nabla f(x_{k+1}), e_{k+1} \rangle^2.
\end{aligned}$$

Возьмём от этого неравенства условное математическое ожидание $\mathbb{E}_{e_{k+1}}[\cdot | e_1, e_2, \dots, e_k]$, используя лемму B.10 из [18] (формулировка данной леммы есть в приложении — см. лемму 4), и получим неравенство (16). Лемма доказана.

Доказательство леммы 3. Доказательство состоит в выписывании цепочки неравенств:

$$\begin{aligned}
&\alpha_{k+1}(f(x_{k+1}) - f(u)) \\
&\leq \alpha_{k+1} \langle \nabla f(x_{k+1}), x_{k+1} - u \rangle \\
&= \alpha_{k+1} \langle \nabla f(x_{k+1}), x_{k+1} - z_k \rangle + \alpha_{k+1} \langle \nabla f(x_{k+1}), z_k - u \rangle \\
&\stackrel{\textcircled{1}}{=} \frac{(1-\tau_k)\alpha_{k+1}}{\tau_k} \langle \nabla f(x_{k+1}), y_k - x_{k+1} \rangle + \alpha_{k+1} \langle \nabla f(x_{k+1}), z_k - u \rangle \\
&\stackrel{\textcircled{2}}{\leq} \frac{(1-\tau_k)\alpha_{k+1}}{\tau_k} (f(y_k) - f(x_{k+1})) + \alpha_{k+1} \langle \nabla f(x_{k+1}), z_k - u \rangle \\
&\quad \stackrel{\textcircled{3}}{\leq} \frac{(1-\tau_k)\alpha_{k+1}}{\tau_k} (f(y_k) - f(x_{k+1})) \\
&\quad + \alpha_{k+1}^2 LC_{n,q} \cdot (f(x_{k+1}) - \mathbb{E}_{e_{k+1}}[f(y_{k+1}) | e_1, e_2, \dots, e_k]) \\
&\quad \quad + V_{z_k}(u) - \mathbb{E}_{e_{k+1}}[V_{z_{k+1}}(u) | e_1, e_2, \dots, e_k] \\
&\stackrel{\textcircled{4}}{=} (\alpha_{k+1}^2 LC_{n,q} - \alpha_{k+1}) f(y_k) - \alpha_{k+1}^2 LC_{n,q} \mathbb{E}_{e_{k+1}}[f(y_{k+1}) | e_1, e_2, \dots, e_k] \\
&\quad + \alpha_{k+1} f(x_{k+1}) + V_{z_k}(u) - \mathbb{E}_{e_{k+1}}[V_{z_{k+1}}(u) | e_1, e_2, \dots, e_k].
\end{aligned}$$

Действительно, ① выполнено, так как $x_{k+1} \stackrel{\text{def}}{=} \tau_k z_k + (1 - \tau_k)y_k \Leftrightarrow \tau_k(x_{k+1} - z_k) = (1 - \tau_k)(y_k - x_{k+1})$, ② следует из выпуклости $f(\cdot)$ и

неравенства $1 - \tau_k \geq 0$, ③ справедливо в силу леммы 2 и в ④ используется равенство $\tau_k = \frac{1}{\alpha_{k+1} LC_{n,q}}$. Лемма доказана.

Д о к а з а т е л ь с т в о т е о р е м ы 1. Заметим, что при $\alpha_{k+1} = \frac{k+2}{2LC_{n,q}}$ выполнено

$$\alpha_k^2 LC_{n,q} = \alpha_{k+1}^2 LC_{n,q} - \alpha_{k+1} + \frac{1}{4LC_{n,q}}.$$

Возьмём для $k = 0, 1, \dots, N - 1$ от каждого неравенства (7) Леммы 3 математическое ожидание по e_1, e_2, \dots, e_N , просуммируем полученные неравенства и получим

$$\alpha_N^2 LC_{n,q} \mathbb{E}[f(y_N)] + \sum_{k=1}^{N-1} \frac{1}{4LC_{n,q}} \mathbb{E}[f(y_k)] + \mathbb{E}[V_{z_N}(u)] - V_{z_0}(u) \leq \sum_{k=1}^N \alpha_k f(u),$$

где $\mathbb{E}[\cdot] = \mathbb{E}_{e_1, e_2, \dots, e_N}[\cdot]$. Положим $u = x^*$. Так как $\sum_{k=1}^N \alpha_k = \frac{N(N+3)}{4LC_{n,q}}$, $\mathbb{E}[f(y_k)] \geq f(x^*)$, $V_{z_N}(u) \geq 0$ и $V_{z_0}(x^*) = V_{x_0}(x^*) \leq \Theta$, то выполняется неравенство

$$\frac{(N+1)^2}{4LC_{n,q}} \mathbb{E}[f(y_N)] \leq \left(\frac{N(N+3)}{4LC_{n,q}} - \frac{N-1}{4LC_{n,q}} \right) f(x^*) + \Theta,$$

откуда следует, что $\mathbb{E}[f(y_N)] \leq f(x^*) + \frac{4\Theta LC_{n,q}}{(N+1)^2}$. Теорема доказана.

Приводим формулировку леммы B.10 из [18]. Отметим, что в доказательстве нигде не использовалось, что второй вектор в скалярном произведении (помимо e) есть градиент функции $f(x)$ (поэтому утверждение леммы остаётся верным для произвольного вектора $s \in \mathbb{R}^n$ вместо $\nabla f(x)$).

Л е м м а 4 Пусть $e \in RS_2^n(1)$ и вектор $s \in \mathbb{R}^n$ — некоторый вектор. Тогда

$$\mathbb{E}_e[\langle s, e \rangle^2] = \frac{\|s\|_2^2}{n}.$$

Список литературы

- [1] Nesterov Yu. Random gradient-free minimization of convex functions // CORE Discussion Paper 2011/1. – 2011.
- [2] Немировский А.С., Юдин Д.Б. Сложность задач и эффективность методов оптимизации. М.: Наука, 1979.

- [3] Гасников А.В., Двуреченский П.Е., Нестеров Ю.Е. Стохастические градиентные методы с неточным оракулом // Труды МФТИ. 2016. Т. 8. № 1. С. 41–91. arXiv preprint arXiv:1411.4218
- [4] Гасников А.В., Лагуновская А.А., Усманова И.Н., Федоренко Ф.А. Безградиентные прокс-методы с неточным оракулом для негладких задач выпуклой стохастической оптимизации на симплексе // Автоматика и Телемеханика. 2016. № 10. С. 57–77.
- [5] Гасников А.В., Крымова Е.А., Лагуновская А.А., Усманова И.Н., Федоренко Ф.А. Стохастическая онлайн оптимизация. Одноточечные и двухточечные нелинейные многорукие бандиты. Выпуклый и сильно выпуклый случаи // Автоматика и Телемеханика. 2017. № 2. С. 36–49.
- [6] Allen-Zhu Z., Orecchia L. Linear coupling: An ultimate unification of gradient and mirror descent // arXiv preprint arXiv:1407.1537
- [7] Гасников А.В. Современные численные методы оптимизации. Универсальный градиентный спуск: учеб. пособие. М.: МФТИ, 2018 (принято в печать) URL: <https://arxiv.org/ftp/arxiv/papers/1711/1711.00394.pdf>
- [8] Nesterov Yu. Efficiency of Coordinate Descent Methods on Huge-Scale Optimization Problems // SIAM J. Optim. 22(2). 2012. P. 341–362.
- [9] Dvurechensky P., Gasnikov A., Tiurin A. Randomized Similar Triangles Method: A Unifying Framework for Accelerated Randomized Optimization Methods (Coordinate Descent, Directional Search, Derivative-Free Method) // SIAM Journal on Optimization. (Submitted) arXiv preprint arXiv:1707.08486
- [10] Горбунов Э.А., Воронцова Е.А., Гасников А.В. О верхней оценке математического ожидания нормы равномерно распределённого на сфере вектора и явлении концентрации равномерной меры на сфере // arXiv preprint arXiv:1804.03722
- [11] Баяндина А.С., Гасников А.В., Лагуновская А.А. Безградиентные двухточечные методы решения задач стохастической негладкой выпуклой оптимизации при наличии малых шумов не случайной природы // Автоматика и телемеханика. 2018. № 7. (в печати) arXiv preprint arXiv:1701.03821

- [12] Гасников А.В., Девуреченский П.Е., Усманова И.Н. О нетривиальности быстрых (ускоренных) рандомизированных методов // Труды МФТИ. 2016. Т. 8. № 2. С. 67–100. arXiv preprint arXiv:1508.02182
- [13] Allen-Zhu Z. Katyusha: The First Direct Acceleration of Stochastic Gradient Methods // arXiv preprint arXiv:1603.05953
- [14] Guzman C., Nemirovski A. On lower complexity bounds for large-scale smooth convex optimization // Journal of Complexity, Volume 31, Issue 1, February 2015. P. 1–14.
- [15] Гасников А.В., Нестеров Ю.Е. Универсальный метод для задач стохастической композитной оптимизации // ЖВМ и МФ. 2018. Т. 58. № 1. (в печати) arXiv preprint arXiv:1604.05275
- [16] Baydin A.G., Pearlmutter B.A., Radul A.A., Siskand J.M. Automatic differentiation in machine learning: a survey // arXiv preprint arXiv:1502.05767
- [17] Брэгман Л.М. Релаксационный метод нахождения общей точки выпуклых множеств и его применение для решения задач выпуклого программирования // ЖВМ и МФ. 1967. Т. 7. № 3. С. 200–217.
- [18] Bogolubsky L., Dvurechensky P., Gasnikov A., Gusev G., Raigorodskii A., Tikhonov A., Zhukovskii M. Learning Supervised PageRank with Gradient-Based and Gradient-Free Optimization Methods // The Thirtieth Annual Conference on Neural Information Processing Systems (NIPS). – 2016. arXiv preprint arXiv:1603.00717
- [19] ACDS method Python code. URL: <https://github.com/JaneJaneVL/ACDS>
- [20] Гасников А.В. Эффективные численные методы поиска равновесий в больших транспортных сетях. Диссертация на соискание ученой степени д.ф.-м.н. по специальности 05.13.18 – Математическое моделирование, численные методы, комплексы программ. М.: МФТИ, 2016. – 487 с. arXiv preprint arXiv:1607.03142